# (21) 鉄骨部材と鉄筋コンクリート部材による 複合構造接合部のせん断伝達強度に 関する実験検証

伊藤 嘉則1・槇谷 榮次2

<sup>1</sup>正会員 一般財団法人建材試験センター 中央試験所(〒340-0003 埼玉県草加市稲荷5丁目21番地20) E-mail:itou@jtccm.or.jp

<sup>2</sup>正会員 関東学院大学工学部 名誉教授 (〒236-8501 横浜市金沢区六浦東1丁目50番地1) E-mail:Makitani\_a@m.jcnnet.jp

本研究は、鉄骨部材と鉄筋コンクリート部材よる複合構造接合部を想定し、2つの要素間に充填する充填材にグラウトモルタル及びエポキシ系樹脂を使用した際のせん断伝達機構を実験的に調べたものである。実験は二面せん断による直接せん断実験とし、接合幅及びコンクリート圧縮強度を主な変動要因とした。その結果、全ての試験体で最大耐力に達するとともに鉄骨部との接合界面で滑りが生じたが、充填材のせん断破壊が混在した複合破壊もみられた。最大せん断強度は接合幅の因子に影響を受け、それが大きくなるにつれ低下する傾向にあった。ただし、充填材がグラウトモルタルで接合幅40mm、エポキシ系樹脂で接合幅20mm以降は、最大せん断強度がほぼ一定値となる傾向を示した。

Key Words: direct shear test, connection widtht, shear transfer strength, hybrid connection

#### 1. はじめに

鉄筋コンクリート造(以下, RC 造とする)部材同士 の接合方法に接合鉄筋及びシアキーなどを設けたプレキ ャスト RC 造(以下、PCa·RC 造とする) がある。同接 合部のせん断伝達挙動を把握するための直接せん断実験 は古くから数多く行われ、理論的な検証を含めた様々な せん断伝達強度式が提案りされている。他方、鉄骨造 (以下, S 造とする) 部材と RC 造部材による接合部に 関しても、梁をS造、柱をRC造とする際の圧着接合部 2) 3), 露出柱脚における S 造柱と RC 造基礎間の接合部 4) 5などを対象とした直接せん断実験が幾つか行われてい る。いずれにせよ、部材種別によらずこれら部材間の接 合部分にはグラウトモルタルなどが充填されるので、そ の充填材の厚み(本論文では、これを接合幅 Li とす る)が存在し二面せん断となる。そのうちの PCa·RC 造 接合部に関しては、筆者らの直接せん断実験のでせん断 伝達強度が接合幅の違いに影響を受けることが明らかと なっている。故に、S 造部材と RC 造部材の接合部につ いても、接合幅の影響を含めた検証が必要と思われる。 構造種別によらず施工時に設けられる接合部は設計上の 問題点であり、地震力に対して最も重要な検証事項はせ

ん断力となる。近年,建築物の大スパン化,設計・施工の合理化などから S 造部材と RC 造部材による複合構造接合部の開発が盛んに行われており,この種の構造物に関する接合部のせん断伝達挙動の把握は重要と考える。

以上の背景に対して、本論文は S 造部材と RC 造部材による複合構造接合部において、接合幅の違いに着目した上での直接せん断実験を行ったものである。部材間は充填材のみで接合され、接合鉄筋及びシアキーなどを有さない平滑な接合界面を取り上げている。なお、本論文で対象とする複合構造接合部は、上述の接合部 <sup>2~5</sup>のほかに近年多様化する耐震補強時の接合部 <sup>7~9</sup>も視野に入れており、これら接合部のせん断伝達強度に関する基礎実験資料の取得も目的の1つとしている。

#### 2. 実験概要

#### (1) 試験体

表-1 に試験体一覧を、図-1 に試験体の代表例を示す。 試験体は、圧縮力が作用する S 造部材と RC 造部材によ る複合構造接合部の一部分を想定した。試験体の形状は、 H形鋼による鉄骨部(幅・長さ:200×450mm)と RC 造部

表-1 試験体一覧

試験体		既存RC部				変動要因			コンクリート(既存RC部)			充填材(接合部)		
シリーズ	記号	幅Bc× 長さh [mm]	も H [mm]	鉄筋	鉄骨部	接合幅 Lj [mm]	コンクリート 設計強度 Fc [N/mm <sup>2</sup> ]	充填材	圧縮強度 σcb [N/mm²]	ヤング係数 Ecb [kN/mm²]	引張強度 σtb [N/mm²]	圧縮強度 σcj [N/mm²]	ヤング係数 Ecj [kN/mm²]	引張強度 σtj [N/mm²]
	020-13-G		430	·主 筋:6-D16 ·補強筋:D10@70	H- 200 × 200 × 7.5 × 9	20	13	グラウト モルタル	20.5	20.3	2.17	64.9	27.1	2.67
	020-21-G 020-30-G						21 30		29.9 48.4	23.9 28.7	2.80 2.52	62.6 57.1	25.0 24.0	3.61 4.57
	040-13-G 040-21-G		410			40	13		20.5	20.3	2.17	64.9	27.1	2.67
							21		29.9	23.9	2.80	62.6	25.0	3.61
1	040-30-G						30		48.4	28.7	2.52	57.1	24.0	4.57
'	120-13-G		330			120	13		19.7	21.3	1.96	55.1	30.3	2.45
	120-21-G						21		29.2	23.5	2.48	53.5	26.5	3.97
	120-30-G			・主 筋:4-D16 ・補強筋:D10@70		200	30 13		47.8	28.6	2.40	59.6 55.1	29.1	2.47
	200-13-G 200-21-G		250				21		19.7 29.2	21.3 23.5	1.96 2.48	53.5	30.3 26.5	2.45 3.97
	200-21-G	225					30		47.8	28.6	2.40	59.6	29.1	2.47
	010-21-G	×	440	•主 筋:6-D16 •補強筋:D10@70		10	- 50		33.7	24.7	2.48	55.9	22.8	3.46
2	015-21-G	450	435			15	21		33.7	24.7	2.48	55.9	22.8	3.46
	030-21-G		420			30	1	34.7	24.9	2.32	51.6	22.6	2.67	
	010-13-R		440			10	13	エポキシ系 樹脂	22.5	2.2	1.58	79.0		39.5
	010-21-R						21		30.2	2.4	2.33	81.3	_	42.6
	010-30-R						30		53.7	3.0	2.08	77.6	_	38.5
_	020-30-R		430			20	13		22.5	2.2	1.58	79.0	_	39.5
3							21		30.2	2.4	2.33	81.3	_	42.6
			410			40	30		53.7	3.0	2.08	77.6	_	38.5
	040-13-R 040-21-R						13 21		22.5 30.2	2.2	1.58 2.33	79.0 81.3		39.5 42.6
	040-21-R 040-30-R						30		53.7	3.0	2.33	77.6		38.5

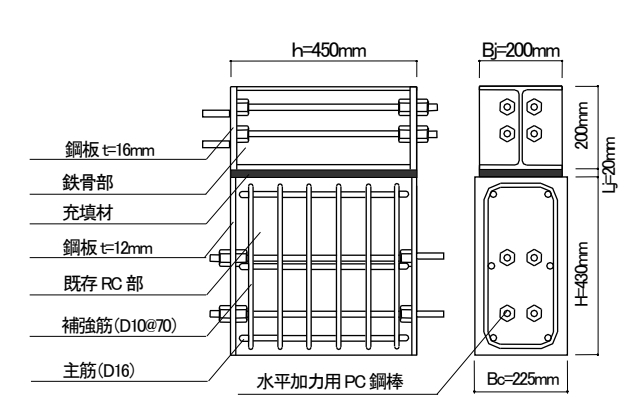
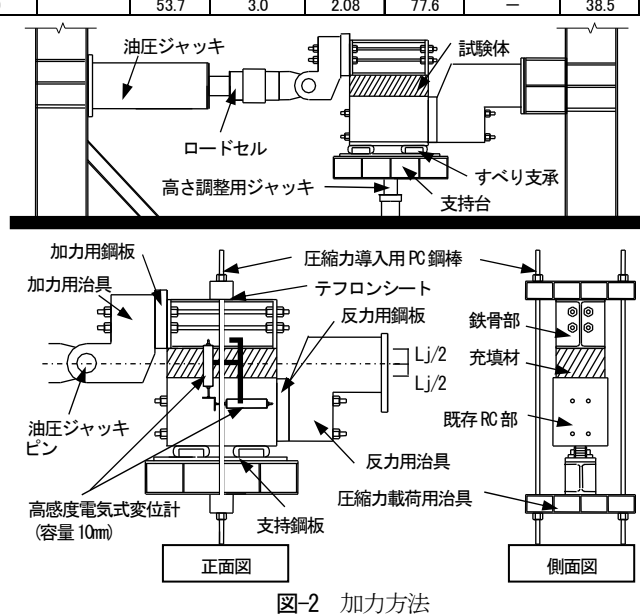


図-1 試験体(接合幅:20mmの場合)

試験体は、シリーズ  $1\sim$ シリーズ 3 から構成されている。シリーズ 1 及びシリーズ 2 では、充填材にグラウトモルタルを使用した。シリーズ 1 の変動要因は、接合幅( $L_{f}=20$ , 40, 120, 200mm)及び RC 造部のコンクリート設計基準強度(Fc=13, 21,  $30N/mm^2$ )である。シリーズ 2 では RC 造部の Fc を  $21N/mm^2$  とし、接合幅 40mm以下の検討として、変動要因を接合幅( $L_{f}=10$ , 15, 30mm)としている。シリーズ 3 では充填材にエポキシ系樹脂を使用し、変動要因が RC 造部のコンクリート設計基準強度(Fc=13, 21,  $30N/mm^2$ )及び接合幅( $L_{f}=10$ , 20, 40mm)となっている。



試験体の製作は、RC造部に主筋D16 (SD390) と補強筋D10 (SD295A) @70mmを配し、所定強度のコンクリートを打込んだ。7日間養生した後、接合界面をグラインダー及びプライマー処理し充填材を打設した。打設方向は、いずれも横打ち方向となっている。鉄骨部の表面処理は黒皮の剥離及び脱脂処理を行ったが、シリーズ3に関しては黒皮の状態としている。

#### (2) 実験方法

図-2 に示すように、試験体を支持台に垂直に設置し、RC 造部の一端を高さ(H)に応じた反力用鋼板を介して反力用冶具に固定支持した。このとき、油圧ジャッキピン位置は接合幅の高さ中心位置とした。加力は、接合界面にせん断力が加わるよう S 造部側面に設けた加力用鋼板を介して一方向単調載荷のせん断力を接合界面上に与えた。接合部の垂直方向には $\sigma_n$  =0.45N/mm² なる軸力

 $(\sigma_n = N/A_j$ で図-1 より  $A_j = B_j \cdot h$ )を接合界面中心部で圧縮力導入用 PC鋼棒により与えている。PC 鋼棒は、試験体上下端に設けた圧縮力載荷用冶具を介して試験体外部から 2本の PC 鋼棒で挟み込んでおり、載荷冶具と試験体間にはテフロンシートを設けている。測定は、S造部材と RC 造部材間の滑り変位  $\delta_s$  及び開き変位  $\delta_v$  を高感度電気式変位計(読み取り精度 1/1000)により測定した。荷重(せん断力 Q)は油圧ジャッキに取り付けたロードセルにより、外部圧縮力は PC 鋼棒に貼付したひずみゲージ(各 PC 鋼棒表裏 2 箇所、計 4 箇所)によって軸ひずみを測定し、これを軸力 N に換算した。

#### 3. 実験結果

#### (1) 破壊性状

図-3 に代表的な試験体の破壊性状を示すが、図中白抜き部分は充填材を表す。全ての試験体でS造部との接合界面で滑りが生じた。ただし、後述するように接合幅

の違いにより滑り破壊長さは異なっている。RC 造部の表面はグラインダー及びプライマー処理を施したため、付着力がS造部との接合界面に比べて増加したと思われる。せん断抵抗要素としては、充填材による付着力及び外部圧縮力による摩擦力が挙げられるが、RC 造部と充填材との接合界面に比して、付着力が乏しいS造部との接合界面で滑りを生じたことになる。

一方、接合幅の違いにより 2 種類の破壊モードが確認された。1 つは、鉄骨部との接合界面で見られた滑りのほかに充填材のせん断破壊が混在した複合破壊である。これは、接合幅がグラウトモルタルは  $L_{i}$ <40mm、エポキシ系樹脂は  $L_{i}$ <20mm の全ての試験体で見られた。なお、滑り長さは、試験体の全長 h=450mm のうちの300mm 程度で、残り部分には充填材が鉄骨下面に接着されている状態にあった。もう 1 つは、S 造部との接合界面上で生じた滑りのみの破壊で、上述した接合幅以上の試験体で見られた。同破壊モードにおける滑り破壊長さは、試験体の全長となる。なお、これら破壊モードには、Fcによる違いは見られなかった。

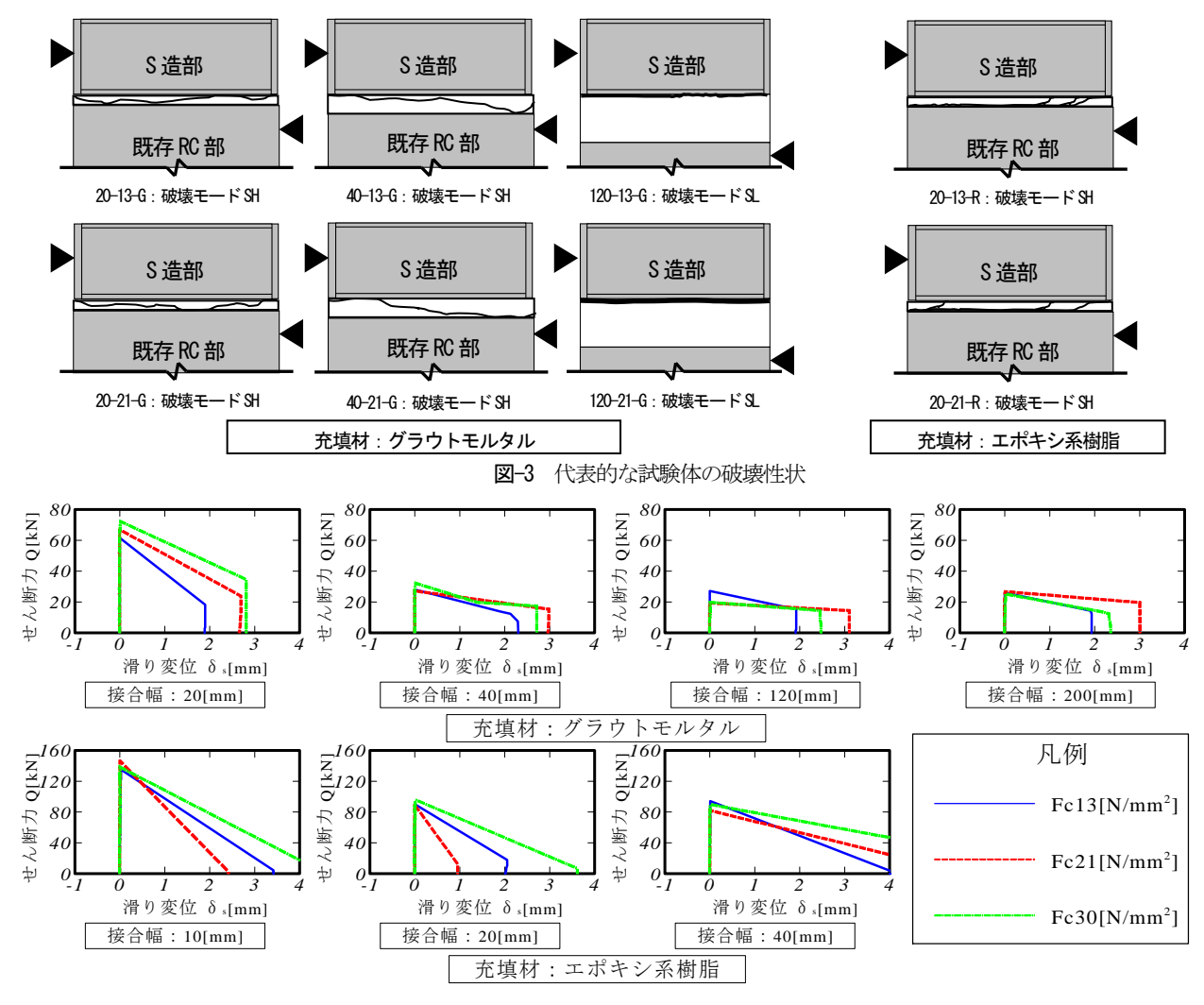


図-4 せん断力ー滑り変位曲線

#### (2) せん断カー滑り変位曲線

図-4 に、せん断力Q と滑り変位 $\delta_s$  の関係を示す。全ての試験体で滑り発生時までせん断力が荷重軸に沿って増加し、滑り変位が殆んど発生していなかった。これが、滑りの発生と同時に急激な耐力低下を生じ、滑り変位が増大する脆性的な挙動を示した。いずれの試験体も滑り発生時が最大耐力であり、この時の滑り変位は 0.03mm以内の微小変位であった。また、接合部間の開き変位 $\delta_v$  も殆ど認められず、載荷中の PC 鋼棒張力による軸力N の変動も見られなかった。

これら曲線形状において、下り勾配は試験体ごとで異なるが、微小変位で最大耐力を迎えその後は脆性的となる傾向は、接合幅、RC部のFc、充填材種類及び破壊モードによる違いが見られなかった。

試	験体	最大耐力時実験値									
シリーズ	記号	耐力 Qmax [kN]	滑り変位 ðs [mm]	開き変位 δv [mm]	載荷圧縮 応力度 σn [N/mm²]	せん断 伝達強度 <sup>で max</sup> [N/mm <sup>2</sup> ]	破壊 モード				
	020-13-G	61.6	0.000	0.030	0.40 (0.43)	0.68	SH				
	020-21-G	66.5	0.010	0.002	0.52 (0.53)	0.74	SH				
	020-30-G	72.0	0.020	0.010	0.45 (0.45)	0.80	SH				
1	040-13-G	28.1	0.005	0.050	0.46 (0.44)	0.31	SL				
	040-21-G	27.1	0.002	0.004	0.45 (0.43)	0.30	SL				
	040-30-G	32.0	0.020	0.004	0.48 (0.46)	0.36	SL				
	120-13-G	27.1	0.000	0.002	0.42 (0.43)	0.30	SL				
	120-21-G	19.2	0.015	0.004	0.42 (0.45)	0.21	SL				
	120-30-G	19.7	0.010	0.001	0.46 (0.46)	0.22	SL				
	200-13-G	26.1	0.002	0.010	0.45 (0.46)	0.29	SL				
	200-21-G	26.7	0.010	0.010	0.39 (0.43)	0.30	SL				
	200-30-G	25.1	0.020	0.002	0.50 (0.49)	0.28	SL				
2	010-21-G	72.9	0.025	0.004	0.51 (0.51)	0.81	SH				
	015-21-G	69.5	0.030	0.005	0.49 (0.50)	0.77	SH				
	030-21-G	51.2	0.030	0.010	0.54 (0.53)	0.57	SH				
3	010-13-R	135.0	0.030	0.020	0.43 (0.45)	1.50	SH				
	010-21-R	145.8	0.007	0.002	0.48 (0.47)	1.62	SH				
	010-30-R	137.4	0.005	0.006	0.49 (0.47)	1.53	SH				
	020-13-R	89.7	0.020	0.005	0.47 (0.46)	1.00	SL				
	020-21-R	88.7	0.000	0.004	0.50 (0.48)	0.99	SL				
	020-30-R	95.4	0.020	0.070	0.46 (0.46)	1.06	SL				
	040-13-R	94.1	0.010	0.001	0.44 (0.45)	1.05	SL				
	040-21-R	81.8	0.005	0.002	0.48 (0.48)	0.91	SL				
	040-30-R	89.7	0.020	0.007	0.51 (0.51)	1.00	SI				

表-2 実験結果一覧

| 040-30-R | 89.7 | 0.020 | 0.007 | 0.51 ((注)1. 載荷圧縮応力度は、実際の実験時に載荷された値である。 ( )内は、載荷時から最大耐力時までの平均値を示す。

2. 破壊モードの記号 SH:滑りせん断破壊(複合破壊), SL:滑り破壊

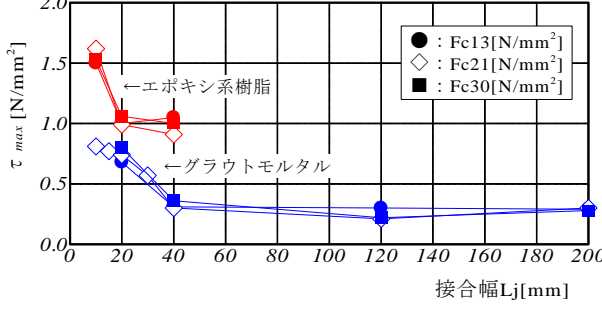


図-5 実験値の最大せん断伝達強度  $au_{max}$  と接合幅  $L_i$  の関係

#### (3) 最大せん断伝達強度

表-2 に実験結果一覧を、図-5 に最大せん断伝達強度 ( $\tau_{max} = Q_{max}/A_j$  、 $Q_{max}$  :最大耐力、 $A_j$  :せん断面 積)と接合幅( $L_i$ )の関係を示す。図より、 $\tau_{max}$  はどちらの充填材も接合幅が小さくなるにつれ大きくなる傾向にあり接合幅の違いに影響を受けている。ただし、充填材がグラウトモルタルでは  $L_j \ge 40$ mm、エポキシ系樹脂では  $L_j \ge 20$ mm の範囲で $\tau_{max}$  が横ばいとなっている。この接合幅を境に 2 つの破壊モードが見られたことから、せん断伝達機構が変化していると推察される。本論文では、この接合幅による境界点を「せん断抵抗遷移点:Rs」と定義する。

ここで充填材をグラウトモルタルとした試験体に着目すると、その $\tau_{max}$ は  $0.68\sim0.81$ N/mm²である。文献 10 による打継ぎ面を平滑に仕上げた RC 造部材同士の接合界面における $\tau_{max}$ は 0.62N/mm²となっており、複合構造接合部も接合幅  $L_{j} \le 20$ mm であれば平滑面を有するコンクリート同士の接合部と同様な強度が得られたと言える。また、既存 RC 造部の接合界面に目粗しなどの表面処理を施せば、複合構造接合部における滑り破壊面は必然的に S 造部との接合界面で生じることも明らかとなった。

同様に充填材にエポキシ系樹脂を用いた試験体の  $\tau_{max}$ を示すと  $0.99\sim1.50$ N/mm² の範囲にあった。これより  $\tau_{max}$  は、充填材がエポキシ系樹脂の方がグラウトモルタルより高いことがわかった。

#### 4. 摩擦係数

#### (1) 修正 Mohr - Coulomb の破壊基準

Coulomb 則によれば、滑りを生じる時の計算値せん断強度  $(\tau_{cn})$  を次式で表現できる。

$$\tau_{cn} = \tau_c + \tau_n \tag{1}$$

ここで、 $\tau_c$ :付着強度、 $\tau_n$ :摩擦強度

上式から $\tau_{cn}$ は、 $\tau_c$ 及び $\tau_n$ との累加で与えられることがわかる。また $\tau_n$ は、 $\sigma_n \cdot \tan \phi$ ( $\sigma_n$ :外部圧縮応力、 $\phi$ :内部摩擦角)で与えられ、 $\tan \phi$ が摩擦係数に相当する。本論文では実験値 $\tau_{max}$ に対して $\tau_c$ を差し引いた( $\tau_{max} - \tau_c$ )/ $\sigma_n$ を「真の摩擦係数: $\mu_p$ 」と定義する。なお、複合構造接合部に関する既往の研究では摩擦係数を $\tau_{max}$ と $\sigma_n$ の比で与え、 $\tau_c$ を含めた見掛けの摩擦係数( $\mu_a = \tau_{max}/\sigma_n$ )を求めている。 $\tau_c$ を適切に把握し、それを無視した設計を行うことは安全側の仮定である。しかし、実験結果を見掛けの摩擦係数で評価することは、真の摩擦係数による観点からは過大評価する恐れがあると思われる。

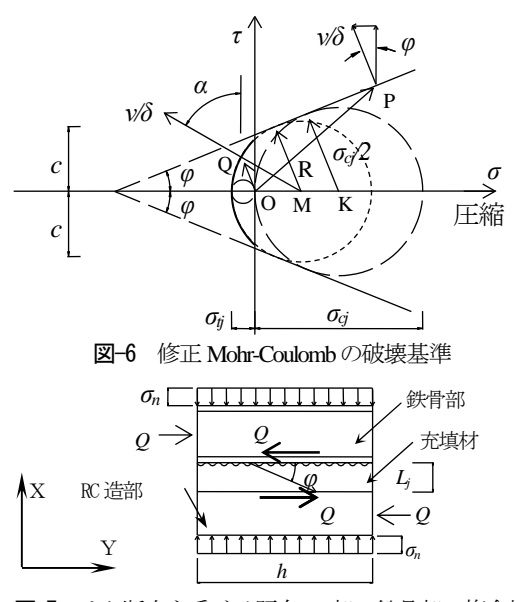


図-7 せん断力を受ける既存 RC 部 - 鉄骨部の複合構造 接合部における破壊メカニズム

一方,Mohr-Coulomb の破壊基準によれば, $\tau_c$  と $\phi$  で定める包絡線に Mohr の応力円が接すると接合部もしくは接合界面に破壊が生じることになる。そして,コンクリート構造物に適用される強度の低い引張応力円を外接する引張及び圧縮応力円と,圧縮応力円に外接する滑り基準線から構成された図-6 に示す修正 Mohr-Coulomb の破壊基準  $^{11}$  を用いると  $\tau=c+\tan\phi$  の関係が得られる。ここで,滑り基準線を $\sigma$  軸とのなす角度を $\phi$  とする。よって,図-7 に示すように,接合面における相対変位ベクトルを $\nu$  とする接合界面に形成される降伏線を想定すると,修正 Mohr-Coulomb の破壊基準による極限解析理論から接合界面の付着破壊を表わすせん断抵抗に関わる強度式が式(2)で導かれる。

$$\tau_{cn} = \frac{Q_j}{b \cdot h} = \beta_c \cdot \frac{\left(1 - \sin \phi\right)}{2 \cos \phi} \cdot \sigma_{cj} + \sigma_n \cdot \tan \phi \tag{2}$$

ただし、 $\sigma_{ci}$ : 充填材の圧縮強度

上式の第 1 項は式(1)における $\tau_c$ に、第 2 項は $\tau_n$ に相当し、 $\tan\phi$ が真の摩擦係数 $\mu_p$ となる。ただし、実験で得られる破壊面は仮定する破壊面の一部に過ぎず、 $\sigma_{cj}$ を全て取り入れると極限解析理論では過大評価になることが知られている  $^{10}$ 。そのため式(2)においては、 $\sigma_{cj}$ に低減係数 $\beta_c$ が乗じてある。

### (2) 実験結果による検証

式(1)及び式(2)を念頭に、実験結果から得られる見掛けの摩擦係数  $\mu_a$  について既往の文献データとの比較を兼ねた検証を行った。比較に用いたデータは接合界面が平滑で、接合用鉄筋を用いていない接合部である。

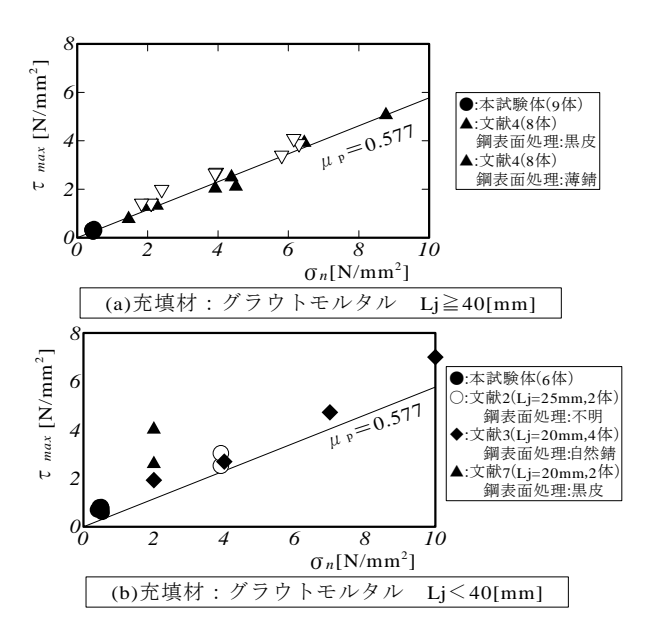


図-8 実験値 $\tau_{max}$ と $\sigma_n$ の関係(グラウトモルタル)

#### a) グラウトモルタル

実験結果から得られる  $\mu_a$  を Rs ごとにまとめると、その平均値が  $\mathbf{L}_i$ < 40mm で 1.48、 $\mathbf{L}_i$   $\geq$  40mm で 0.61 であった。まず、 $\mathbf{L}_i$   $\geq$  Rs による検証として、 $\mathbf{L}_i$   $\geq$  40mm の本試験体と  $\mathbf{L}_i$  = 150mm とした文献 4(16体)との比較を、図-8(a)に実験値  $\tau_{max}$  と外部圧縮応力  $\sigma_n$  の関係で示した。図において、文献 4 に対する  $\mu_a$  は 0.62 であり本実験結果と概ね一致した。また、文献 4 に対して直線回帰式を求めたところ  $\tau_{max}$  =0.02+0.61  $\sigma_n$  となった。本実験結果に対して  $\tau_c$  =0.02N/mm² と見なし、真の摩擦係数を算出すると  $\mu_n$  =0.59 が与えられる。

図-8 (b) は, $L_j$ <Rs による検証として  $L_j$ <40mm の本試験体と  $L_j$ ≦25mm なる文献データ  $^{2\lambda-3\lambda-7}$ との比較である。文献データ (8 体) に対して得られる  $\mu_a$  は 0.97 であり,本試験体と比べ若干小さい値にあった。これは,鋼表面処理(文献 2: 不明,文献 3: 自然錆,文献 7: 黒皮)などの違いが 1つの要因として考えられる。いずれにしても, $L_j$ ≧40mm の試験体より  $\mu_a$  が高くなっている。

以上から、真の摩擦係数として $\mu_p$ =0.59 を与えると、式(2)より内部摩擦角は $\phi$ =30.5 度となる。近似的に $\phi$ =30 度を適用すると、次式が得られる。

$$\tau_{cn} = \frac{Q_j}{h \cdot h} = 0.289 \cdot \beta_c \cdot \sigma_{cj} + 0.577 \sigma_n \tag{3a}$$

ただし、 $L_i \ge 40$ mm では $\sigma_{ci} = 0$ 

#### b) エポキシ系樹脂

本論文と類似なる既往研究はかなり少ない状況にあり、 直接比較できるデータが宮内らの4体<sup>8,9</sup>及び小宮らの 1体<sup>12</sup>のみであった。これら限られた文献データの中で

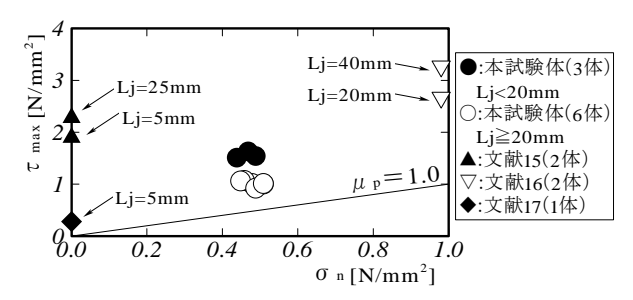


図-9 実験値 $au_{max}$  と $\sigma_n$  の関係(エポキシ系樹脂)

グラウトモルタルと同様な比較検証を**図-8** と同様にして示した**図-9** より行う。なお、本試験体での $\mu_a$  は  $\mathbf{L}_{\mathbf{J}}$  < 20mm で 3.33、 $\mathbf{L}_{\mathbf{i}}$   $\geq$  20mm で 2.08 である。

図-9 より、本試験体の実験値 $\tau_{max}$ は宮内らの結果と 比べてかなり低い値にある。これは破壊性状の違いによ るもので、エポキシ系樹脂とコンクリート間との接着破 壊と記されている。また,同文献中では鋼材同士間の  $\tau_{max}$  が 4.53N/mm<sup>2</sup>となっており、鋼材への接着強度(鋼 表面処理: 不明) そのものが高い条件で得られた値と判 断される。一方、小宮らの破壊性状は本試験体と同じ様 相(鋼との接合界面での滑り破壊)を示しており、その  $\tau_{max}$ は 0.28N/mm² である。この実験では $\sigma_n$  =0N/mm² の 条件で行われており、鋼材とエポキシ系樹脂間の付着強 度τ, に相当すると考えられる。そこで、本試験体に対 して $\tau_c$  =0.28N/mm<sup>2</sup> とした真の摩擦係数を求めると、 $L_j \ge$ 20mm で $\mu_n$ =1.50 となる。この時の内部摩擦角は、式(2) より $\phi$ =56.3 度となる。宮内らは外部圧縮応力に対する 真の摩擦係数として $\mu_n=1.0$ を提案しており、内部摩擦 角が φ =45 度となる。本論文でも内部摩擦角の上限値と してφ=45度を採用すると次式が得られる。

$$\tau_{cn} = \frac{Q_j}{b \cdot h} = 0.207 \cdot \sigma_{cj} \cdot \beta_c + 1.0\sigma_n \tag{3b}$$

ただし、Lj $\geq$ 20mm では $\sigma_{ci}$ =0

#### (3) 考察

本章では修正 Mohr-Coulomb の破壊基準から導かれる式(2)に着目し、文献データとの比較を兼ねた摩擦係数の検証を行った。しかし、その検証から得られた式(3a)及び式(3b)には、本論文で取り上げた接合幅の因子が含まれておらず、Rs 以下の範囲で得られる強度上昇を表現できていないので下限式の位置付けとなる。

ところで、せん断摩擦抵抗の概念からすれば外部圧縮 応力の条件が同じ場合、 $\tau_{cn}$  は $\tau_{c}$  が何らかの要因で上昇 しない限り接合幅によらず一定値を示すはずである。ま

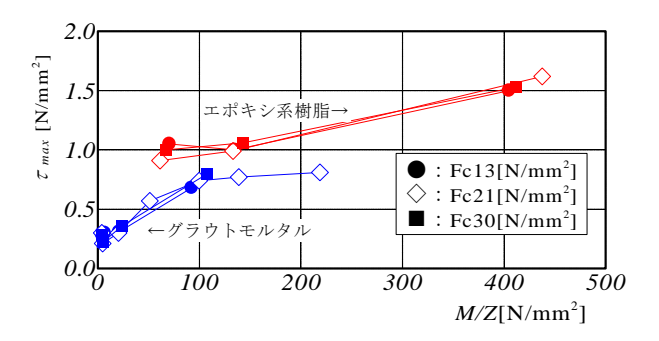


図-10 実験値 $\tau_{max}$ と $M_i/Z_i$ の関係

た、式(3a)及び式(3b)の第 1 項が式(1)の $\tau_c$  に相当するならば、それは接合界面表面粗さ及び化学的接着力による条件で与えられることになる。しかし、本実験結果が示す限り Rs 以下では接合幅が小さくなるにつれ $\tau_{max}$  が高くなることは事実と捉えている。すなわち、接合幅がせん断伝達に与える影響は、従来からの摩擦係数を評価する際の接合界面の条件(付着力及び摩擦力)のみで把握できないと判断される。従って、別の物理的要因なる抵抗機構を含めて考える必要があると思われる。

一方、本加力方法において曲げモーメントが 0 となるのは、油圧ジャッキピンの高さに対応する位置となる。この時、接合幅  $L_j$  に対する偏心距離  $L_j$  /2 によって充填材には曲げモーメントが加わることになる。この曲げモーメントは、せん断力 Q の作用とともにモーメントの増分  $\Delta M = Q \cdot L_j$  が生じる。そこで、偶力モーメント $M_j = Q_{\max} \cdot L_j$  を充填材の断面係数  $Z_j = B_j \cdot L_j^2$  /6 で除した値を横軸にとった際の  $\tau_{\max}$  との関係を図-10 に示した。図より、接合幅が小さいほど  $\tau_{\max}$  が大きかったのは、 $M_j/Z_j$  が大きい場合であることが判断される。

#### 5. せん断伝達強度式の提案

## (1) 実験係数

本論文では、式(3a)及び式(3b)中の有効係数  $\beta_c$  を利用して、接合幅が  $\tau_{max}$  に及ぼす影響を評価する。すなわち、 $\beta_c$  を接合幅の関数で表わした実験係数を導く。図-11 に実験結果の逆算から得られた  $\beta_c$  と接合幅  $L_j$  の関係を示す。図の縦軸は実験結果を逆算して求めているので、 $\tau_{max}$  と  $L_j$  の関係と同様な傾向にあり、これを Rs を境界とした 1 次式で表すことにした。なお、滑り破壊面は S 造部材との接合界面であったため、せん断伝達強度に既存 RC 造部の Fc は関与していないので、 $\beta_c$  は Fc の区別をせずに全試験体に対して一様に評価した。

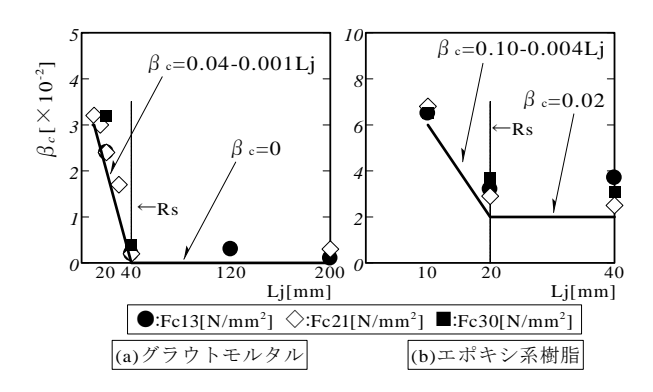


図-11  $\beta_c$  と $L_i$  の関係

充填材:グラウトモルタル

 $10 < \text{Lj} < 40 \text{mm} : \beta_c = 0.04 - 0.001 \cdot L_i$  (4a)

 $40\text{mm} \le \text{Lj}$  :  $\beta_c = 0$ 

充填材:エポキシ系樹脂

10 $\leq$ Lj $\leq$ 20mm :  $\beta_c = 0.1 - 0.004 \cdot L_j$  (4b)

20mm $\leq$ Lj :  $\beta_c = 0.02$ 

#### (2) 実験値と計算値の比較

本章では、式(4a)及び式(4b)の有効係数を式(3a)及び式(3b)に乗じて得られるせん断伝達強度の計算値と実験値の比較検討を行なう。図-12 に、実験値と計算値の関係をプロットした。これより、数体で過大評価となる試験体が見られるが概ね実験値と計算値は一致しており妥当な評価ができていることからおり、これを複合構造接合部におけるせん断伝達強度式として提案する。なお、提案式は一様な外部圧縮応力を受ければせん断面積による制限は受けないが、外部圧縮力の作用を前提とし、接合幅は本実験範囲内で適用される。

#### 6. まとめ

S 造部材と RC 造部材による複合構造接合部を対象に、接合幅の違いがせん断伝達強度に及ぼす影響を調べることを目的とした直接せん断実験を行った。実験結果及び考察結果から、以下の事が明らかとなった。

- (1) 最大せん断伝達強度は、接合幅の違いに影響を受け、 それが大きくなるにつれ低下する。ただし、充填材 がグラウトモルタルでは接合幅 40mm、エポキシ系 樹脂では接合幅 20mm 以降、最大せん断伝達強度が ほぼ一定値となる傾向を示した。
- (2) 実験値最大せん断伝達強度は、いずれの充填材も既存 RC 造部のコンクリート圧縮強度による影響は見られず、接合幅の影響が大きいことが分かった。これは既存 RC 造部の接合界面に目粗しなどの表面処

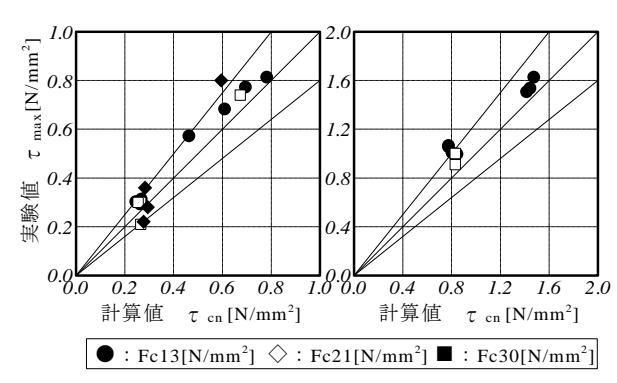


図-12 実験値と計算値の比較

理をすれば、複合構造接合部における滑り破壊面は、 S造部との接合界面で生じることによる。

- (3) 修正 Mohr-Coulomb の破壊基準から導かれるせん断 伝達強度式を念頭に、実験結果から得られる摩擦係 数について文献調査を含めて検証した。その結果、 真の摩擦係数  $\mu_p$  として充填材がグラウトモルタル 及びエポキシ系樹脂に対して、それぞれ 0.577 及び 1.0 で評価された。同係数を用いて得られる評価式 は、接合幅の影響を考慮しない場合の下限式となる。
- (4) 上記(3)で得られた強度式に、接合幅が及ぼす影響を 考慮した実験係数を求めた。同耐力式を用いると、 接合幅の影響を含めたせん断伝達強度を評価できる。

#### 参考文献

- 1) 望月重,槇谷榮次,永坂具也:壁式プレキャスト構造鉛 直接合部のせん断耐カーダウエル効果および圧縮拘束力 を考慮した場合ー,日本建築学会構造系論文報告集,第 424号,pp.11~22,1991.6
- 2) 石川智章,村井和雄,岡本晴彦,東端泰夫,他2名:圧着接合された鉄骨柱とRC部材との接合面におけるせん断伝達に関する実験的研究,日本建築学会大会学術講演梗概集C-2構造IV,pp.1061~1062,1993
- 3) 太田義弘、岡本晴彦、東端泰夫:鋼管コンクリート柱と プレキャストプレストレスコンクリート梁との圧着接合 に関する研究ー鋼鈑とコンクリートの圧着接合面におけ るせん断力伝達ー、日本建築学会大会学術講演梗概集 C-2 構造IV,pp.897~898,1996
- 4) 久恒治郎, 鷲尾健三, 鈴木豊明: 鋼構造柱脚の定着効果に関する研究(その3.鋼飯とモルタル面間の滑りについて), 日本建築学会大会学術講演梗概集, pp.1177~1178, 1967
- 5) 長江拓也,池永昌容,中島正愛,吹田啓一郎:鋼構造露 出柱脚におけるベースプレートと基礎モルタル間の摩擦 抵抗,日本建築学会構造系論文集,第606号,pp.217~223, 2006.8

- 6) 斎イ,槇谷榮次,伊藤嘉則:シアキーと接合幅を持つPCa 構造接合部のせん断挙動と耐力評価に関する研究,日本 建築学会構造系論文集,第578号,pp.99~106,2004.4
- 7) 野口隆,北島圭二,上田英明,安達洋:耐震補強のためのダンパーブレースの躯体定着方法に関する実験,コンクリート工学年次論文集,Vol.19,No.1,pp.345~350,1997
- 8) 宮内靖昌,東端泰夫,毛井崇博,太田義弘:鉄骨ブレースの接着接合により耐震補強されたRC架構の力学性状,コンクリート工学年次論文集,Vol.20,No.3,pp.1153~1158,1998
- 9) 宮内靖昌,毛井崇博,東端泰夫:エポキシ樹脂を用いた接着接合部の力学性状に関する研究,コンクリート工学 年次論文集,Vol.23, No.1, pp.967~972, 2001
- 10) 武井一夫: コンクリート打継ぎ面の界面粗さの評価方法 - 界面粗さの形状とせん断伝達-, 日本建築学会構造系 論文集, 第455号, pp.7~16, 1994
- 11) W.F.Chen : Plasticity in Reinforced Concrete , McGraw-Hill International Book Company, pp.210  $\sim$  215, pp.301  $\sim$  306, 1982
- 12) 小宮敏明, 益尾潔: 鉄骨増設ブレース補強用の接着接合 部および間接接合部の終局耐力, コンクリート工学年次 論文集, Vol.22, No.3, pp.1657~1662, 2000

# EXPERIMENTAL VERIFICATION OF SHEAR TRANSFER STRENGTH FOR HYBRID CONNECTION BETWEEN STEEL MEMBER AND REINFORCED CONCRETE

# Yoshinori ITOU and Eiji MAKITANI

In this paper, the joint connection of steel member and reinforced concrete member is modeled as test specimens which element are adhered together by grout mortar or epoxy resin. This paper presents an investigation on shear transfer mechanism across connection interface of hybrid structures. Direct shear experiments with several parameters are performed in different connection width, concrete compressive strength. As a test result showed that the shear transfer strength had a tendency to decrease with increase of connection width. However, when connection width exceeded the Rs, shear transfer strength showed a constant value. Where Rs=40mm in case of grout mortar, Rs=20mm in case of epoxy resin.